

1 非典型对流”台风快速增强机制研究：地表潜热通量作用

2

3 沈上骐¹、黄绮君¹、葛旭阳¹

4 ¹（南京信息工程大学气象灾害教育部重点实验室/气候与环境变化国际合作联合实验室，南京，210044）

5

6 **摘要：**利用再分析资料和红外云图普查西北太平洋具有“非典型”对流分布特征（对流集中于逆切变一侧）的快速增强（RI）台风个例。通过与具有“典型”对流分布（对流集中于顺切变一侧）的缓慢变化个例（noRI）对比分析后发现，RI组在风切方向左侧拥有更强的地表潜热通量高值中心。为进一步探讨可能机制，本文选取“非典型对流”台风“利奇马”进行敏感性数值试验。诊断结果表明，风切方向左侧较高的地表潜热通量有利于建立该地区对流不稳定。同时，地表潜热通量会通过“边界层熵恢复”机制削弱“通风效应”作用。在高层东风切变下，当对流从顺切变一侧移动至逆切变一侧，对流活动在高地表潜热区域可以得到增强，从而激发出强的上层出流通道；而出流通道的建立（出流阻挡机制）可以抵抗环境东风流，从而削弱垂直风切强度，帮助台风恢复直立发展。

15

16 **关键词：**热带气旋、快速增强、高层切变、出流、地表潜热通量

17

18 **文章编号：**2023073A

19 doi:10.3878/j.issn.1006-9895.2310.23073

20

21

收稿日期：2024-03-05 网络预出版日期：

作者简介：沈上骐，男，1999年4月生，硕士研究生，研究领域：台风与中小尺度气象。E-mail：
1106411771@qq.com

通讯作者：葛旭阳，E-mail：xuyang@nuist.edu.cn

项目资助：气象联合基金（U2342202）

Found: Supported by National Natural Science Foundation of China (Grants U2342202)

22 **Rapid Intensification typhoon with “Atypical Convection” : The**
23 **Role of Surface Latent Heat Flux**

24 Shangqi Shen¹, Qijun Huang¹, Xuyang Ge¹

25 ¹Key Laboratory of Meteorological Disaster of Ministry of Education (KLME)/Joint International Research
26 Laboratory of Climate and Environment Change (ILCEC), Nanjing University of Information Science and
27 Technology, Nanjing 210044, China

29 Abstract: In this study, rapidly intensifying (RI) tropical cyclones (TCs) with ‘Atypical’ convection
30 (upshear concentrated convection) in the Northwest Pacific were screened by using reanalysis data
31 and infrared cloud images. A group of slow-intensifying (noRI) typhoons with ‘Typical’ convection
32 (downshear concentrated convection) were gathered for comparison. It is found that the RI group
33 has a stronger maximum region of surface latent heat flux on the left side of the vertical wind shear
34 (VWS) direction. To further explore possible mechanisms, the ‘Atypical’ convection case ‘Lekima’
35 was selected for sensitivity numerical experiments. The diagnostic results indicate that the surface
36 latent heat flux on the left side of the VWS direction helps establish convective-instability in the
37 region. Consequently, the effect of the "Ventilation effect" was weaken through the "Boundary layer
38 entropy recovery" mechanism caused by the surface latent heat flux. Under easterly VWS,
39 convection activity can be enhanced in high surface latent heat flux regions during the transition
40 from the down-shear to the up-shear, thereby stimulating strong upper outflow channels. The
41 establishment of outflow channels (Outflow blocking mechanism) can resist the environmental
42 easterly flow, which weakening the strength of VWS and allowing the typhoon to develop vertically.

43
44 Keywords: tropical cyclone, rapid intensification, upper vertical shear, outflow, surface latent heat-
45 flux

46

47 **1 引言**

48 热带气旋（Tropical cyclone; TC）的快速增强过程（Rapid intensification;
49 RI）被定义为24小时内台风最大风速增加超过30 kts（Wang and Zhou, 2007）。
50 其造成的灾害性天气给我国人民生命安全和国家财产带来巨大威胁（陈联寿和
51 丁一汇, 1979; 端义宏等, 2005; 陈光华等, 2005; 于玉斌等, 2007; 费建芳
52 和陆汉城, 1996; 李英等, 2004; 余晖和吴国雄, 2001), 而 RI 过程中的强度
53 预报依旧是业务预报的难点问题（Krishnamurti et al., 2005; 陈彩珠, 2011）。RI
54 过程不仅与热带气旋内部热力学有关, 而且与大尺度环境要素密切相关。其
55 中环境风垂直切变（VWS）是影响 TC 强度的关键因素之一（Emanuel et al.,
56 2004; Zeng et al., 2007, 2008; Wang et al., 2015; Chen et al., 2017; Corbosiero et al.,
57 2002, 2003）。VWS 影响 TC 强度变化的理论, 从热力学角度, 其中包括但不限于:
58 1) 台风高层暖心通风作用（Frank and Ritchie, 2001); 2) 中层干空气侵入
59 TC 眼墙的中、低层通风效应, 从而削弱热机效率（Tang and Emanuel, 2010; Ge
60 et al., 2013; Kanada and Wada, 2015）。从动力学角度来说, 垂直风切变会使得台
61 风低层与中高层环流中心出现位移, 导致台风垂直结构发生倾斜（Jones, 1995）,
62 诱发台风区域产生一波非对称结构（Corbosiero and Molinari, 2003）, 进而导致
63 非对称（扰动）分量与对称分量（基本流）之间相互作用引发台风强度变化。
64 相对应的, 对流分布也呈现出一波非对称结构, 即强对流往往出现在顺切变左
65 侧。本文将这种在台风顺切变一侧的强对流活动称为“典型”对流分布特征。这
66 种对流分布可以通过诱发与风切方向相反的次级环流（Wong and Chan, 2004）,
67 从而有助于 TC 恢复直立结构。

68 Ryglicki et al. (2018 a) 统计分析指出, 在高层垂直风切变情形下, 部分大
69 西洋快速增强台风个例在经历 RI 期间, 强对流活动呈现出有别于上述“典型”
70 对流的分布特征 (Ryglicki et al., 2018 a), 即异常强对流活动主要发生在风切变
71 的逆切变一侧 (“非典型”对流分布)。而这类“非典型”对流分布对台风 RI 的影响
72 机制与“典型”对流不同, 其中“出流阻挡”机制是一个重要的影响途径
73 (Ryglicki et al., 2018a, 2021; Dai et al., 2021)。同时, 台风逆切变高层出流的建
74 立和局地风切变的减弱都可能成为 RI 的预测指标(Shi and Chen, 2021, 2023)。值
75 得一提的是, Richardson et al. (2022) 在统计对比两类快速、慢速增强型台风

76 时发现，RI 台风拥有更强的地表潜热通量，这促进了低层潜热对流向逆切变迁移
77，利于形成和维持逆切变（非典型）对流。具体而言，处于风切变中的台风
78 对流首先发生顺切变一侧，在有利条件（高地表潜热通量）下，对流活动可以
79 移至逆切变且强度增强。这有利于高层出流通道的建立来抵消环境风切变，同
80 时也表明台风正逐渐克服由垂直风切变造成的非对称降水和台风涡旋垂直结构
81 的倾斜。

82 迄今为止，“非典型”对流 RI 台风研究大多局限于大西洋，西北太平洋 RI
83 台风中是否具有这种“非典型”对流分布特征？“出流阻挡”机制是否同样适
84 用于西北太平洋？对上述问题的探究有助于加深西北太平洋区域 TC 强度变化的
85 认识。本文首先统计西北太平洋“非典型”对流分布的快速增强台风个例，并
86 通过与“典型对流”分布个例进行合成对比分析，发现台风下垫面地表潜热通
87 量存在显著差异。在此基础上针对典型个例进行敏感性数值模拟，探究地表潜
88 热通量对“非典型”对流演变特征的影响以及台风快速增强的物理机制。
89

90 2 观测资料分析

91 2.1 资料与方法

92 本文利用美国联合台风警报中心（Joint Typhoon Warning Center, JTWC）
93 提供的 2006-2019 年西北太平洋台风最佳路径数据集，筛选出 24 小时内台风最
94 大风速增加大于等于 30 kts (Wang et al., 2007) 的样本 153 个。进一步，为了使
95 统计中台风的风切变大小和方向相对一致，我们借鉴前人经验 (Ryglicki et
96 al., 2018b)，筛选出 29 个位于高层反气旋的南侧的台风个例，处于这种环流场配
97 置的台风往往对应着高层东风 VWS。最后，根据美国国家海洋和大气管理局
98 (National Oceanic and Atmospheric Administration; NOAA) 区域和中尺度气象部
99 门 (Regional and Mesoscale Meteorology Branch; RAMMB) 提供的台风卫星观测
100 数据，判断台风生命史中是否存在内区对流分布不同于“典型”特征，即主要
101 分布于其相对于垂直风切变逆切变一侧的现象。最终得到 7 个具有“非典型”对
102 流分布台风 RI 个例（具体参见表 1）。同时，在相似的高层东风切变背景下，本
103 文选择一组缓慢变化台风 noRI 组进行对比分析（具体参见表 2）。

105 表 1 西北太平洋 2006-2019 年东风切变下拥有“非典型”对流的快速增强组 RI 个例,
 106 (风切由 200hPa-850hPa 平均纬向风场计算)
 107 Table 1 RI cases with "Atypical" convection during 2006-2019 in Western North Pacific
 108 (zonal VWS is calculated from 200hPa-850hPa zonal wind field)

年份	台风命名	RI	
		首次 RI 时间	纬向风切
2011	纳沙	1800UTC23SEP	6m/s
2012	韦森特	1800UTC21JUL	8m/s
2013	韦帕	1800UTC10OCT	6m/s
2013	范斯高	1800UTC16OCT	9m/s
2014	威马逊	0000UTC13JUL	10m/s
2014	浣熊	1200UTC03JUL	7m/s
2019	利奇马	0600UTC06AUG	10m/s

109
 110 表 2 西北太平洋 2006-2019 年东风切变下呈现“典型”对流的缓慢变化组 noRI 个例,
 111 (纬向风切由 200hPa-850hPa 平均纬向风场计算)
 112 Table 2 Same as Table 1 but for noRI cases

年份	台风命名	noRI	
		首次达到 49kts 时间	纬向风切
2009	莫拉克	0000UTC04AUG	8.5m/s
2006	格美	1200UTC07SEP	7m/s
2012	杜苏芮	1800UTC26JUN	8m/s
2013	潭美	1200UTC17AUG	8.5m/s
2014	麦德姆	0000UTC18JUL	10.5m/s
2014	海鸥	0000UTC12SEP	8m/s
2017	纳沙	1800UTC26JUL	8m/s

113 在风场和地表潜热通量场的统计分析中, 本文使用了欧洲中期天气预报中
 114 心 (European Centre for Medium-Range Weather Forecasts; ECMWF) 提供的第五
 115 版大气再分析数据 (ECMWF Reanalysis v5, ERA5; Hersbach et al., 2020)。该数
 116 据集的水平分辨率为 $0.25^{\circ} \times 0.25^{\circ}$ 。“利奇马”台风数值模拟所使用的模式版本
 117 为 WRF-ARW Version 3.9 (Davis et al., 2008)。采用了四重嵌套网格, 分辨率分
 118 别设置为 27, 9, 3 和 1 km。模拟中主要使用了美国国家大气研究中心提供的再
 119

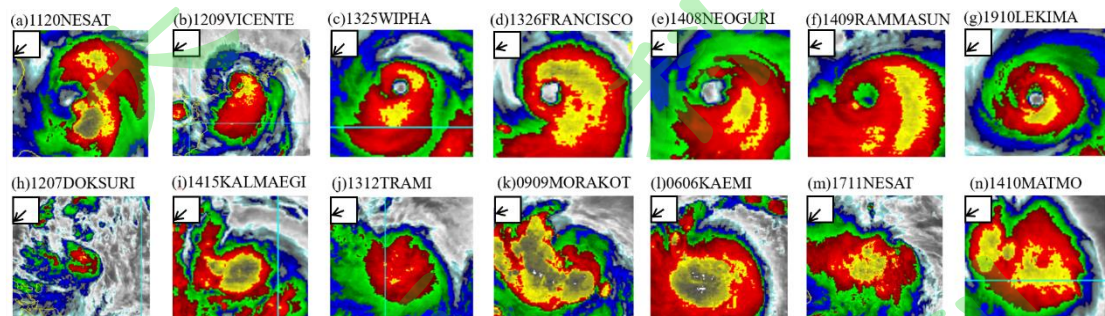
120 分析数据集 (National Centers for Environmental Protection/ Final Operational
121 Global Analysis; NCEP/FNL), 作为模式模拟的初始场和边界场。该数据集时间
122 间隔为 6 小时 (0000, 0600, 1200, 1800 UTC), 水平分辨率为 $1^\circ \times 1^\circ$ 。“利奇马”
123 台风模拟的初始时间为 2019 年 8 月 6 日 0000 UTC, 整个模拟时间为 2 天, 包
124 含了“利奇马”台风快速增强的过程。具体模式设置以及参数化方案请参见
125 (Huang et al., 2021)。

126

127 2.2 观测分析

128 在对流活动区域, 云层越高, 云顶的温度越低。因此, 红外亮温低值区可
129 以反映了强对流活动。图 1 给出了具有“非典型”对流及“典型”对流分布特
130 征的台风个例, 方框中箭头代表 VWS 方向。在“非典型”组中 (图 1 a-g), 因
131 受环境东风影响, 台风内区对流主要分布在东北侧 (逆切变一侧), 这与大西洋
132 快速增强的“非典型”对流分布的台风一致 (Ryglicki et al., 2018 a)。图 1 (h-n)
133 给出了 noRI 组个例。一个显著的差别是: noRI 组台风对流分布主要集中在西南
134 侧 (顺切变一侧), 与风切影响下经典台风对流分布相吻合。

135



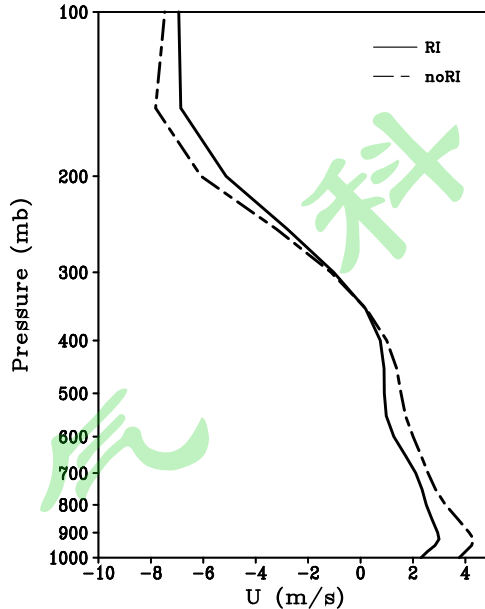
136
137 图 1 卫星观测的红外亮度温度表征强对流分布特征, 其中第一行为非典型 RI 台风个
138 例; 第二行 noRI 台风 (图中箭头为 200-850hPa 垂直风切方向)

139 Fig.1 Satellite-observed infrared brightness temperature characterizes the distribution features of
140 strong convection. Black arrows are the shear direction (a-g: Atypical cases; h-n: Typical cases)

141

142 为了解两组台风所处的背景流强度, 图 2 对以台风中心 500 km 半径内环境
143 风场进行合成, 对比了两类台风在强度达到 33 kts 时纬向风随高度分布。本文
144 将 200 hPa 与 500 hPa 的风速差定义为高层垂直风切变, 低层 (如: 850 hPa) 到
145 500 hPa 的风速差异定义为低层垂直风切变。由图可见, 两组台风拥有相似的纬

146 向环境垂直风切变，RI 组和 noRI 组台风垂直风切变条件相似，且平均垂直风切
147 变为中等强度的高层东风垂直风切变。具体而言，在 500 hPa 高度以下，低层为
148 弱的东风垂直风切变 (3 m s^{-1})，高层则为中等强度的东风垂直风切变 (8
149 m s^{-1})。这与大西洋高层环境场高层东风切变情形相吻合。
150



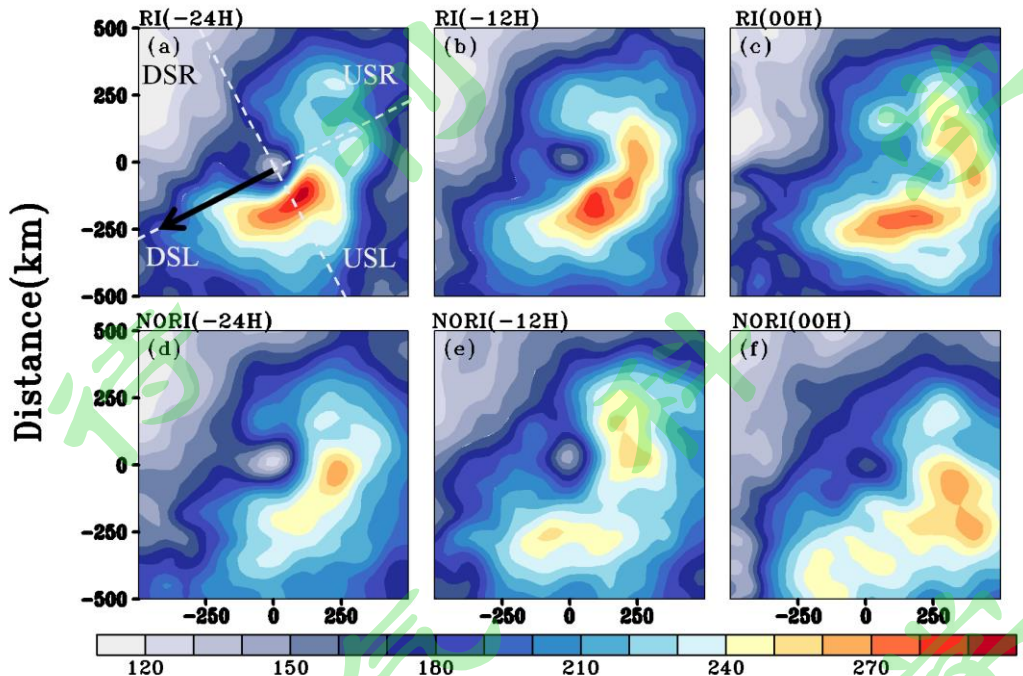
151
152 图 2 RI 组和 noRI 组个例台风中心 500km 半径内平均所得的环境纬向风垂直廓线（黑实
153 线：RI 组；黑点线：noRI 组）
154 Fig.2 The vertical profiles of center composed environment zonal wind in RI and noRI cases
155

156 图 3 给出了两组台风的地表潜热 (Surface latent heat-flux, SLHF) 动态合成
157 对比分析，其中“0”时刻为两组台风平均强度首次达到 49 kts 时刻。可以发现，
158 在研究时段期间，两者都具有明显的一波非对称结构，即 SLHF 高值中心基本
159 上出现在顺切变左侧 (Downshear-left, DSL) 至逆切变左侧 (Upshear-left, USL)。
160 值得注意的是，RI 组在三个时次中拥有更强的 SLHF，特别是-24H 时高达到 300
161 W m^{-2} ，这与 noRI 组形成鲜明对比。

162 TC 表面风和表面焓通量之间的正反馈，称为风蒸发导致的地表热通量交换
163 理论 (WISHE; Emanuel, 1986)。RI 台风发生发展一般对应着更强的地表潜热通
164 量和强对流特征。在风切变作用下台风 RI 过程中，对流首先发生在顺切变一侧，
165 而后逆时钟向逆切变一侧发展，进而完成对称化过程。考虑 DSL-USL 区域具有
166 显著的差异，这里一个值得思考的问题：该区域高的 SLHF 如何影响随后的强

167 对流活动？下面将对该问题开展探究。

168



169
170 图 3 地表潜热通量随时间演变特征 (单位 W m^{-2})，其中(a)(b)(c)代表 RI 组，(d)(e)(f)代表
171 noRI 组。(a)中四个象限依照合成分后 200-850hPa 风切变方向 (黑色箭头)，划分为顺切变左
172 侧 (DSL)、顺切变右侧 (DSR)、逆切变左侧 (USL) 和逆切变右侧 (USR)
173 Fig.3 Time evolution characteristics of surface latent heat fluxes (unit: W m^{-2}), (a-c): RI cases;
174 (d-e): noRI cases. Fig.3(a) is separated into Downshear-left(DSL), Downshear-right(DSR),
175 Upshear-left(USL) and Upshear-right(USR) according to VWS direction (black arrow)

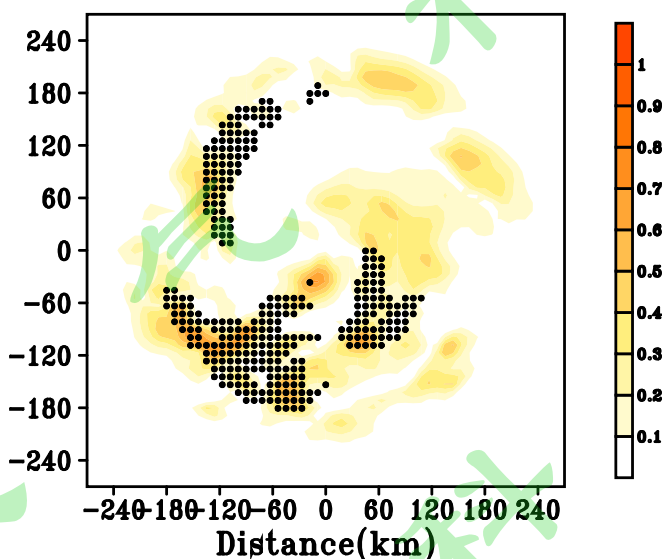
176
177 Liang (2013, 2014) 使用信息流或信息传递以测量动态事件之间的因果关
178 系，可被认为是对于适当因果关系之间的一种测度。对于线性系统，给定两条
179 时间序列 X_1 和 X_2 ，单位时间内从 X_2 到 X_1 信息流的最大似然估计为：

$$T_{2 \rightarrow 1} = \frac{C_{12} - C_{12}C_{1,d1} + C_{11}C_{1,d1}}{C_{11}C_{22} - C_{12}^2} \quad (1)$$

180 其中 C_{ij} 是 X_i 和 X_j 之间的样本协方差， $C_{ij} = \overline{(X_i - \bar{X}_i)(X_j - \bar{X}_j)}$ 。

181 $C_{i,dj}$ 是 X_i 和 \dot{X}_j 之间的协方差。其中 $\dot{X}_j = \frac{X_{j,n+1} - X_{j,n}}{\Delta t}$ ， Δt 为时间步长。相反方向
182 $T_{1 \rightarrow 2}$ 的信息流量可以通过切换指标 1 和 2 直接写出，单位为 nats 每单位时间。上
183 述公式计算的信息流速率可以为零或非零。如果 $T_{2 \rightarrow 1} = 0$ ，从 2 到 1 没有因果关
184 系，即 1 的发展独立于 2；如果不等于 0，则存在因果关系（须通过显著性检
185 验）。

187 由于考虑到再分析资料时间、空间分辨率较粗，难以准确反映 RI 快速过程。
188 在此，本文将使用前期台风利奇马（1910）的实际个例模拟数据（Huang et al.,
189 2021）。该工作模拟出跟观测接近的快速增强过程、路径以及“非典型”对流分
190 布特征。本文将模拟的强度序列（最大风速）设为 X_1 、地表潜热通量随时间变
191 化场设为 X_2 ，计算信息流分布（图 4）。如图所示，高值中心（0.6 nats/6h）位于
192 顺风切方向左侧（60-180 km 范围内），且大片区域通过了显著性检验，这意味着
193 模拟试验中利奇马强度变化与 SLHF 存在密切的因果关系，且敏感区出现在
194 台风南侧（或风切方向左侧半圆 60-180 km 范围内）。



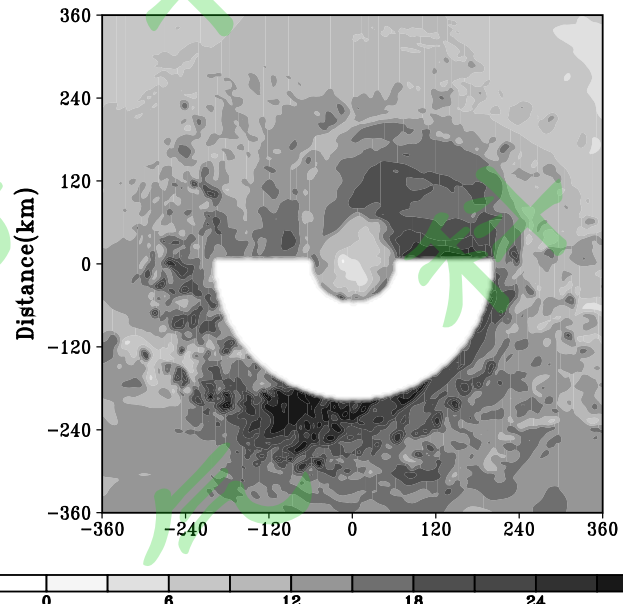
195
196 图 4 利用基于 Liang-Kleeman 信息流理论计算得到的利奇马（1910）台风，地表潜热通量
197 到台风强度的信息流（阴影）（打点区域表示达到 0.05 显著性水平）
198 Fig.4 The information flow obtained by Liang-Kleeman information flow theory in simulated
199 Lekima (1910). (Dotted areas indicate a significance level of 0.05.)

200
201 综上所述，通过 RI 和 noRI 两组台风合成发现，分别对应“非典型”和“典型”
202 对流分布特征。其中 RI 组台风在顺风切左侧拥有更强的 SLHF 高值中心，而信
203 息流方法也指出这种空间分布特征。但 SLHF 的差异如何影响强对流演变尚未
204 明确，本文将针对地表潜热通量进行敏感性试验，以此揭示其空间分布是影响
205 非典型对流进而 RI 的可能途径。

206 3 敏感性试验结果分析

207 本文使用了 WRF-ARW 模式，模式设置以及参数化方案请参见（Huang et

208 al., 2021)。本文在控制试验 (CTL) 的基础上, 设置了一组敏感性试验 (noQ)。
209 具体来说, 在整个模拟过程中, 将 noQ 试验中台风南侧区域 60-200km 扇面内的
210 地表潜热通量设为 0, 即关闭了地表潜热通量的影响 (如图 5)。CTL 和 noQ 试
211 验比较可以反映该敏感区地表潜热通量的作用。

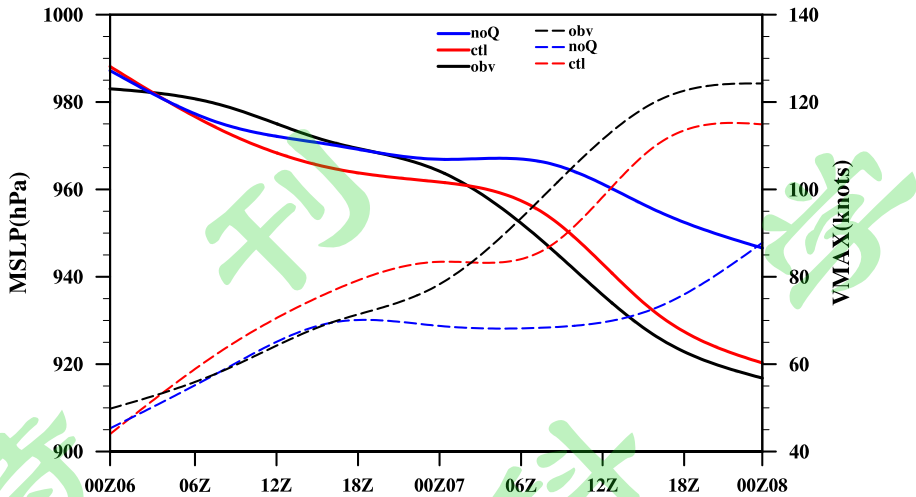


212
213 图 5 模式积分初始时刻 noQ 试验台风中心 360 km 范围内向上水汽通量分布 ($10^{-5} \cdot$
214 $\text{kg}/\text{m}^2\text{s}$), 其中半弧形扇面内地表潜热通量设置为 0

215 Fig.5 The distribution of upward water vapor flux in noQ experiment at the initial time of
216 integration (unit: $10^{-5} \cdot \text{kg}/\text{m}^2\text{s}$), with surface latent heat flux set to 0 within the semi-circular
217 area

218 3.1 模拟台风强度对比

219 图 6 给出了 CTL 和 noQ 试验模拟强度与观测对比情况。由图可见, CTL 较
220 好地模拟出实际台风的强度变化, 尤其是在模拟 48 小时期间, 台风中心最低气
221 压下降至 920 hPa, 较初始时刻下降了 67 hPa, 且最大风速增强至 115 kts, 即台
222 风经历了一次快速增强过程。与此相反, noQ 试验中台风强度变化相对较慢。
223 在模拟的第 48 小时, 台风中心最低气压约为 947 hPa, 台风最大风速为 88 kts。
224 这反映了 noQ 试验中台风并没有经历快速增强阶段。由此可见, 风切左侧的地
225 表潜热通量大小对台风强度快速增强有显著影响。
226

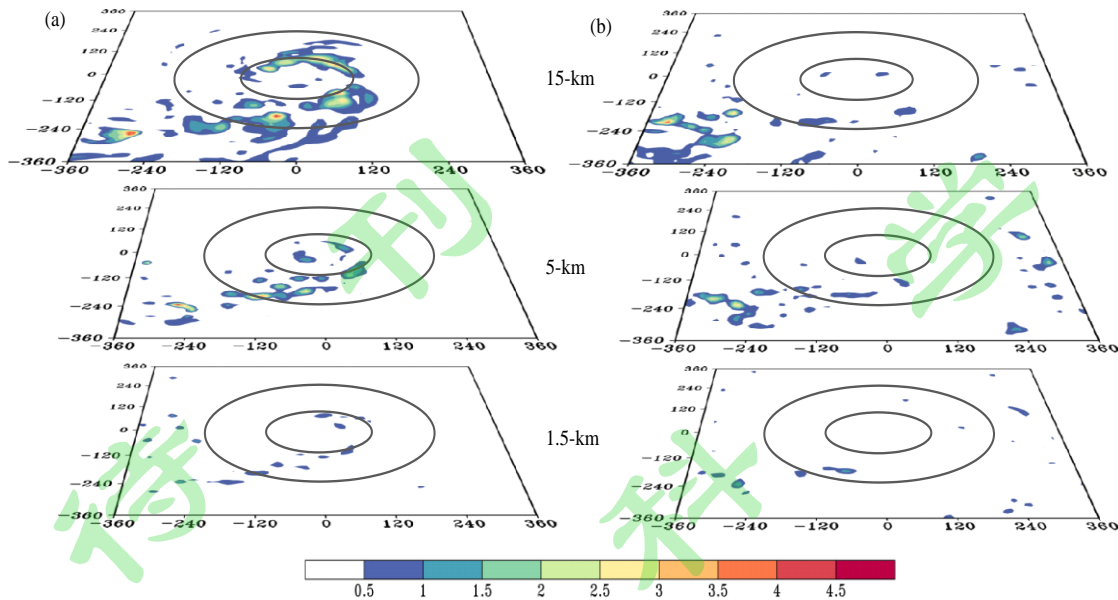


227
228 图 6 2019 年 8 月 6 日-8 日，“利奇马”台风观测和模拟台风强度（黑线：观测；红线：
229 CTL 试验；蓝线：noQ 试验）；实线表示最低海平面气压（单位：hPa）；点线表示最大风速
230 （单位：kts）

231 Fig.6 The observed and simulated typhoon intensity of Typhoon Lekima (black line:
232 observation; red line: CTL experiment; blue line: noQ experiment) during 6-8 August, 2019; solid
233 lines represent the minimum sea level pressure (unit: hPa); dotted lines represent the maximum
234 wind speed (unit: kts)

235
236 为了进一步比较非对称对流分布的情况，图 7 给出了两组试验中不同高度
237 层（1.5、5 和 15km）垂直速度空间分布情况。在图 7(a)中，8 月 7 日 0000 UTC，
238 CTL 试验中强对流分布（垂直速度大于 2 ms^{-1} ）主要位于台风的南侧、东南以及
239 东北象限，内区对流集中于东北侧（逆切变侧）即呈现出“非典型”对流分
240 布特征。值得注意的是，逆切变一侧强的上升运动主要位于高层（15 km），这
241 意味着其伴随对流活动逆时针移动至逆切变一侧，并逐渐发展为强对流。与之
242 相反，在 noQ 试验（图 7b），主要对流区域依旧位于台风的西南象限（顺切变
243 一侧）且内区对流较少。

244

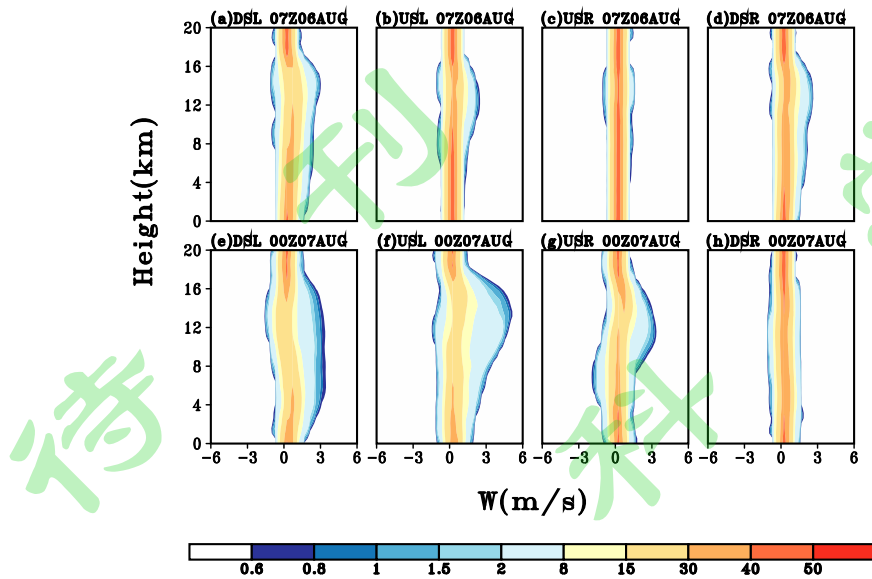


245
246 图 7 8月 7 日 0000 UTC (a) CTL 试验(b) noQ 试验中不同高度 (1.5, 5 和 15 km) 垂直运
247 动水平分布 (单位: ms^{-1})；黑色圆圈距离台风中心分别为 120 和 240km
248

249 Fig.7 The horizontal distribution of vertical motion (unit: ms^{-1}) at different heights at 0000
250 UTC August 7 in (a) CTL experiment and (b) noQ experiment; Black circles are located 120 and
251 240 km away from the typhoon center, respectively

252 为进一步刻画各象限对流差异, 图(8-9)给出了两组试验距离台风中心半
253 径 180 km 范围内垂直速度的 CFADs (Contoured Frequency by Altitude Diagrams;
254 Yuter and Houze, 1995)。图中阴影表示在距离台风中心 $360 \text{ km} \times 360 \text{ km}$ 范围内,
255 不同垂直速度在总区域中所占比例大小随高度分布情况。这可以反映各高度层、
256 不同等级大小的垂直速度的频率分布。当阴影区域右边界向右扩张时, 强对流
257 活动在所选区域中的占比越高, 即强对流活动强度越强。两组试验在整层高度
258 上垂直速度主要在 $\pm 1 ms^{-1}$ 范围内。比较后可见, 在 CTL (图8), 8月 6 日 0700
259 UTC 台风顺切变左侧 (DSL) 高层 (12-16 km) $\geq 2 ms^{-1}$ 的上升气流几率较高。
260 这就说明在台风 RI 启动前期, 强对流主要出现在 DSL 附近。在 8 月 7 日
261 0000UTC, 随着 RI 启动, 台风逆切变一侧 CFADs 分布呈现出明显的非对称结
262 构, 在逆切变的左侧 (USL) 出现 $6 ms^{-1}$ 垂直运动几率, 即该区域具有强烈的
263 上升运动。这反映了强对流活动逆时针移动特征。在 8 月 6 日 0700 UTC, noQ
264 试验中垂直速度强度和分布情况与 CTL 试验较为接近 (图9)。初期强上升气流
265 同样主要位于台风 DSL。而在 8 月 7 日 0000UTC, 台风 DSL 和 USL 象限的上
266 升运动在高层 (12-16 km) 略有增强, 但最强的上升运动仍位于 DSL, 即没有

267 明显但逆时针移动特征。

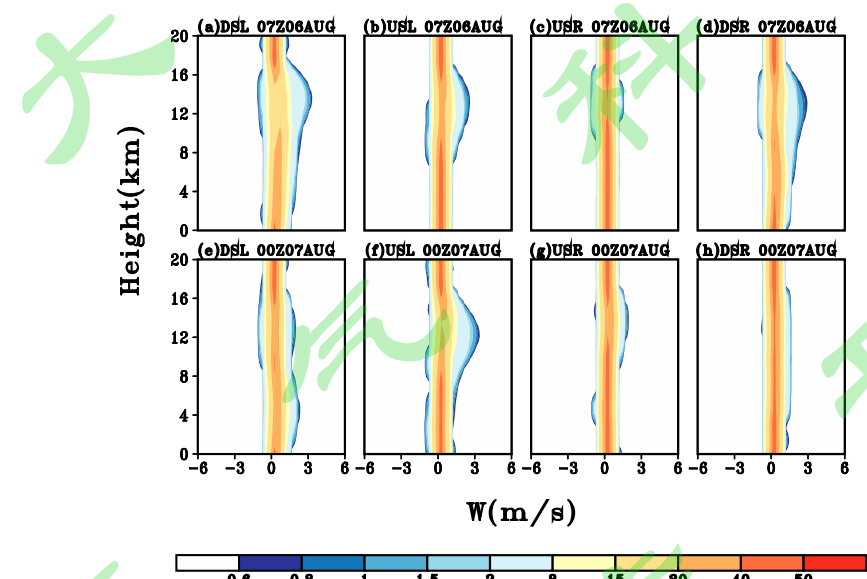


268

269 图 8 8月6日 0700 UTC (第一行) 及8月7日 0000UTC (第二行) CTL 试验距离台风
270 中心半径 180 km 范围内各象限垂直速度的 CFADs (单位: %); (a, e) DSL, (b, f) USL,
271 (c, g) USR, (d, h) DSR

272 Fig.8 Snapshots of the CFADs (unit: %) of vertical velocities within a radius of 180 km from the
273 typhoon center in each quadrant in the CTL experiment at 0700 UTC August 06 (top panels) to
274 0000 UTC August 07 (bottom panels)

275



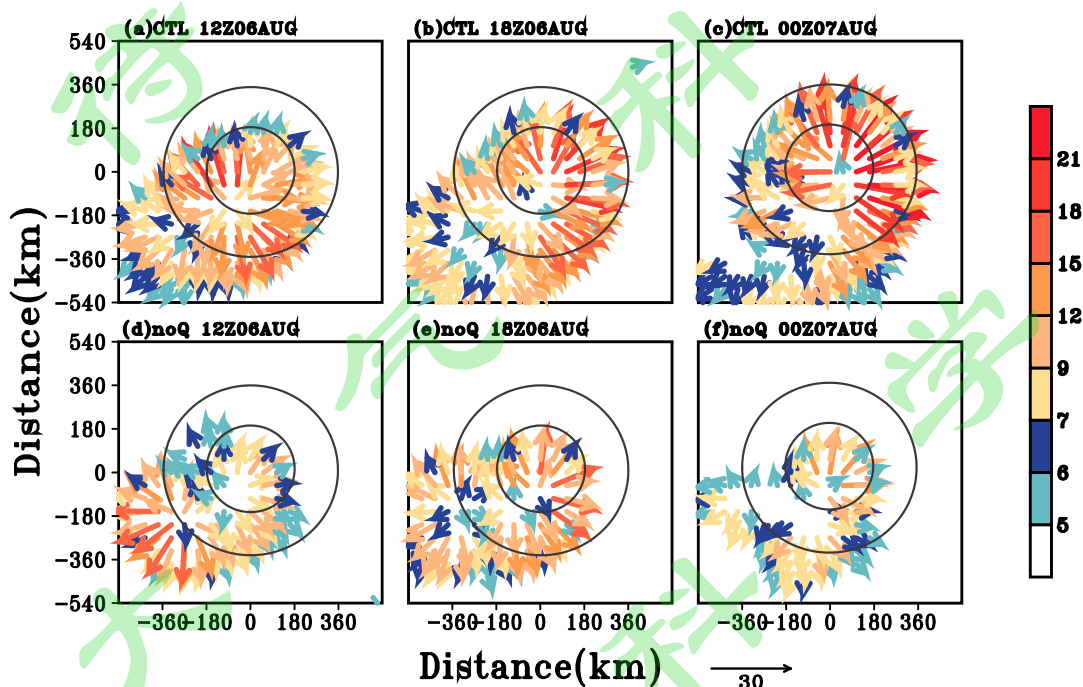
276

277 图 9 8月6日 0700 UTC (第一行) 及8月7日 00UTC (第二行) noQ 试验距离台风中心
278 半径 180 km 范围内各象限垂直速度的 CFADs (单位: %); (a, e) DSL, (b, f) USL,
279 (c, g) USR, (d, h) DSR

280 Fig.9 Snapshots of the CFADs (unit: %) of vertical velocities within a radius of 180 km from the
281 typhoon center in each quadrant in the noQ experiment at 0700 UTC August 06 (top panels) to
282 0000 UTC August 07 (bottom panels)

283

上述分析表明，CTL 呈现出明显“非典型”对流分布特征，伴随着对流活动逆时针移至逆切变方向，台风经历 RI。前人工作（Elsberry and Jeffries, 1996; Ryglicki et al., 2019）指出，台风高层出流通道的建立和增强有利于阻挡高层环境气流，从而减弱台风附近的局地垂直风切变，使其强度增强。这种台风高层出流阻挡环境气流的机制称为“出流阻挡”机制。为揭示上述机制在两组试验中的差异，图 10 对比了两者高层散度风场演变特征。



290

图 10 8月6日 1200 UTC - 8月7日 0000 UTC, 17 km 高度台风出流散度风随时间演变
CTL 试验（第一行；单位: ms^{-1} ）和 noQ 试验（第二行），黑色圆圈代表距离台风中心半径 180、360km（风矢量及色标单位: ms^{-1} ; 风速越大，风矢量越接近红色）

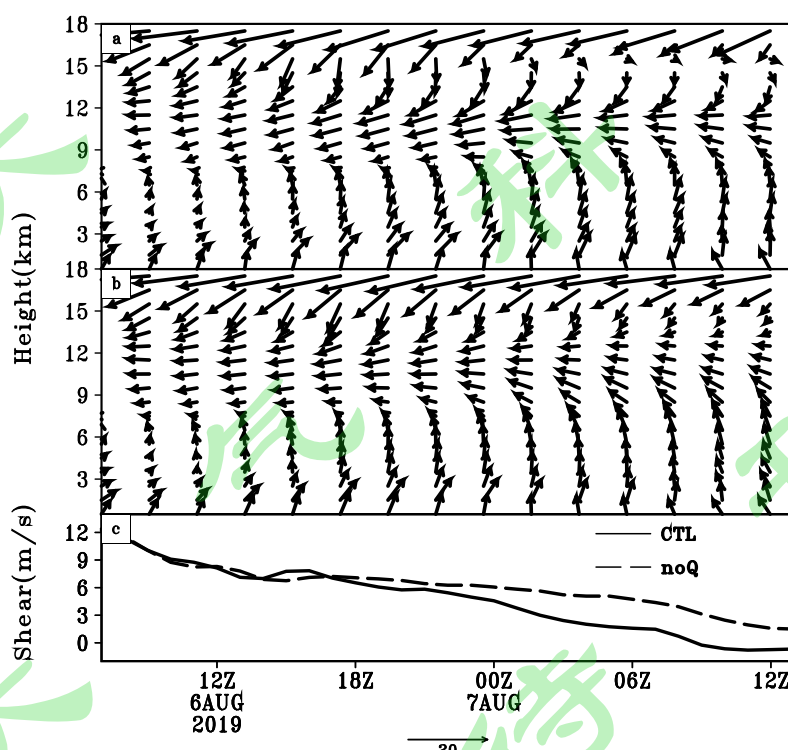
Fig.10 Time evolution of divergence wind (unit: ms^{-1}) in typhoon outflow at 17 km altitude in the CTL (top panels) and noQ experiment (bottom panels) during 1200 UTC August 6 to 0000 UTC August 7; Black circles represent a radius of 90 and 180 km away from the typhoon center, respectively

298

在快速增强初期（8月6日 1200UTC），CTL 试验中的 17 km 处的散度风场中心主要位于台风西南象限（USL），这与该时刻强对流集中在顺切变一侧的现象相对应。随后，高层散度风中心向台风中心靠近，并逐渐从顺切变一侧逆时针向内旋转至逆切变一侧。在 8月7日 0000 UTC 时，散度风大值区主要位于台风逆切变一侧，此时高层散度风为强西风，与高层环境场东风相反，从而削弱

304 风切变。noQ 试验中，高层散度风中心没有随时间向逆切变一侧移动，且散度
305 风强度维持在较弱水平。这说明在 noQ 试验中，高层出流阻挡机制对环境垂直
306 风切的抵消效果有限。

307 图 11 给出了两组试验中不同高度以 540 km 为半径区域平均的环境风场随
308 时间的演变特征，这可以反映风切变随时间演变情况。在台风发展前期（8 月 6
309 日 0700 UTC），两组试验中平均环境风场基本相同，在 8 km 以下高度环境风场
310 为西南风；8 km 以上高度环境风场主要为东北风。随着时间推移，两组试验的
311 垂直风切变均开始减小，但 CTL 试验的垂直风切变要明显小于 noQ 试验。在 8
312 月 7 日 0600 UTC，CTL 试验中垂直风切变减小至 3 ms^{-1} ，而 noQ 试验中垂直
313 风切变减弱相对比较缓慢，大约是 6 ms^{-1} 。在增强过程期间，CTL 高层东风随
314 时间减少的幅度要明显大于 noQ，这与前者高层存在较强的散度风有关。综上
315 所述，CTL 试验 RI 期间“非典型”对流分布有利于台风高层出流阻挡机制。相应
316 地，出流阻挡机制有效减弱风切变强度，台风垂直结构倾斜度减小，台风快速
317 直立发展（图略）。



318
319 图 11 8 月 6 日 0700UTC 至 8 月 7 日 1300UTC (a) CTL 试验，(b) noQ 试验中以台风为中心
320 半径 540 km 范围的区域平均环境场垂直结构 (单位: m s^{-1}) 以及(c)两组试验整层垂直风
321 切 ($16 - 2 \text{ km}$; 单位: m s^{-1}) 随时间演变 (直线: CTL 试验; 虚线: noR 试验)

322 Fig.11 The vertical structure of the area-averaged environmental field within a 540 km range

323 centered on the typhoon (unit: m s^{-1}), and (c) the temporal evolution of the vertical wind shear
324 (16-2 km; unit: m s^{-1}) in both experiments from 0700 UTC August 06 to 1300 UTC August 07
325

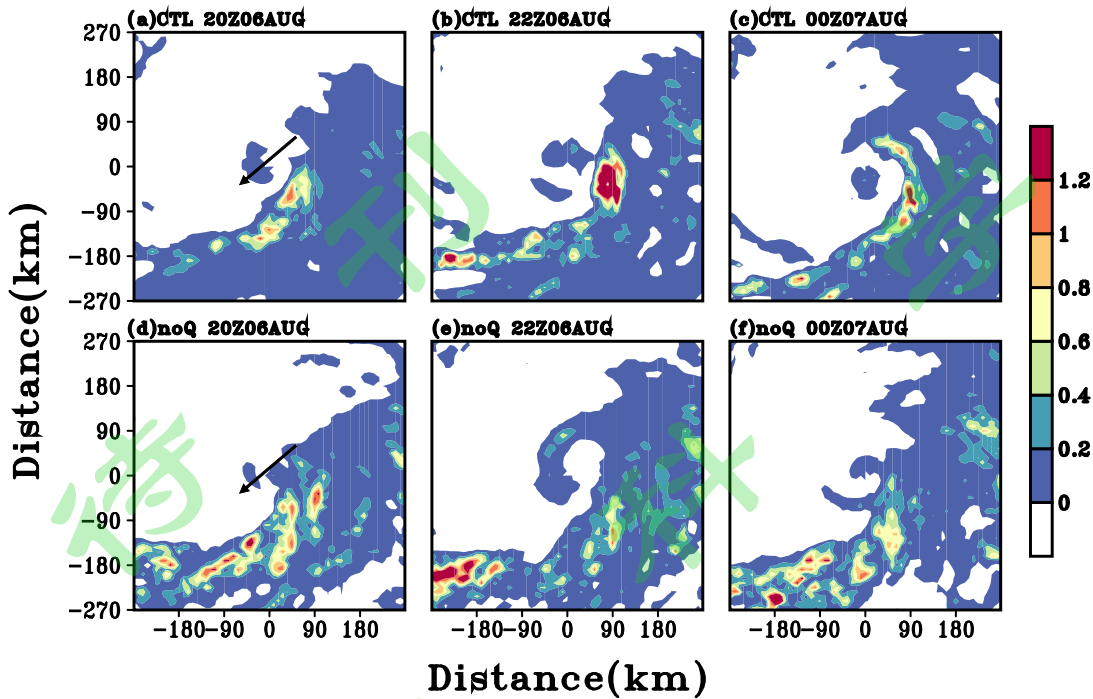
326 4 物理机制

327 4.1“边界层熵恢复”机制

328 CTL 和 noQ 试验清楚地表明非对称对流分布存在显著差异，其中 CTL 中台
329 风 RI 期间存在非典型对流演变特征。而 noQ 试验中表现为典型对流分布且没有
330 RI。在此，我们需要探讨特定区域的地表潜热如何影响非对称对流活动？在风
331 切变情况下，存在两种通风效应（低层和中层）影响途径。对应低层通风效应，
332 与降水相伴随的下沉气流会携带低熵空气进入台风边界层，降低边界层内的熵
333 通量，并随着台风边界层入流入侵台风眼墙，从而抑制台风内区对流发展
334 (Tang and Emanuel, 2010; Riemer et al., 2013; Chen et al., 2021)。参照 Riemer et
335 al. (2010)，本文将对低层通风效应进行对比分析，具体定义为：

$$336 DFX = w_- \cdot \theta'_e \quad (2)$$

337 其中 w_- 表征的是垂直运动负值区，即下沉运动， θ'_e 表示的是扰动相当位温，
338 DFX 由二者相乘得到，正的 DFX 表示下沉运动所导致的熵通量的减少。。图 12
339 给出了两组试验中边界层内 DFX 的水平分布情况。由图可见，在 CTL 中，6 日
340 2000UTC 时的 DFX 正值区呈带状分布，且位于切变方向左侧 (图 12a)；至 6 日
341 2200UTC 时，在 USL 一侧出现一个面积较大的 DFX 高值中心。随着时间推移，
342 这个高值中心逆时针运动至 USR。类似的，noQ 试验中的 DFX 也具有相同的非
343 对称分布，而内区强度上 CTL 则显得更为明显。一般来说，正 DFX 意味着会将
344 更多的低熵空气向下带入台风边界层，并随着边界层入流进入台风内区。这将
345 会对台风强度造成负面影响，不利于台风强度的增强。以上结果似乎存在一定的
346 矛盾之处，下文将回答这个疑问。



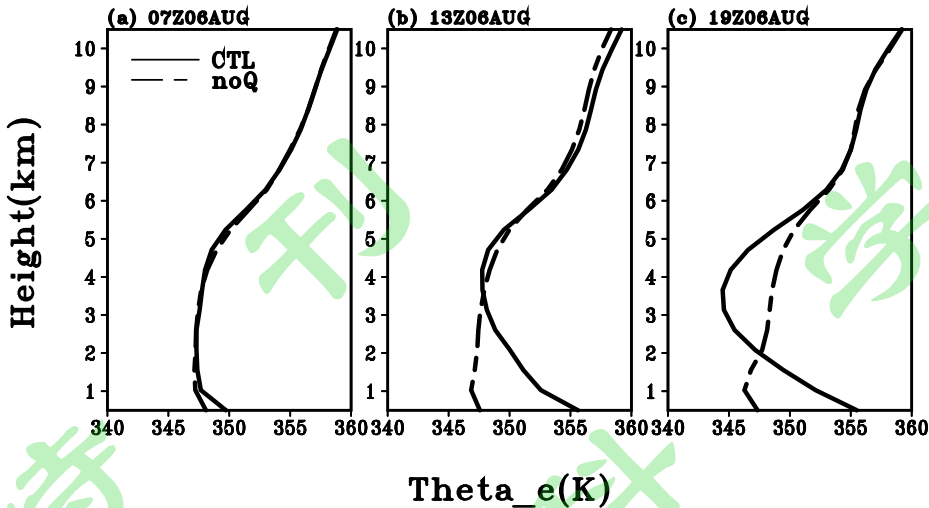
347

348 图 12 8月 6 日 2000、2200UTC 以及 8月 7 日 0000UTC, CTL 试验 (第一行) noQ 试验
 349 (第二行) 0.5-1.5km 的高度平均的 DFX 水平分布 (单位: K ms^{-1}) ;黑色箭头表示风切变
 350 方向

351 Fig.12 Snapshots of the horizontal distribution of the height-averaged DFX (unit: K ms^{-1})
 352 between 0.5-1.5 km in CTL (top panels) and noQ (bottom panels) from 2000 UTC August 6 to
 353 0000 UTC August 7; Black arrows indicate the direction of the wind shear

354

355 台风内区相当位温 (θ_e) 在对流层低层的增加 (Dolling and Barnes, 2012;
 356 Miyamoto and Nolan, 2018; Miyamoto and Takemi, 2013) 对 TC 增强或 RI 很重要。
 357 因此, 本文计算两组试验中关键区相当位温随高度变化廓线 (图 13)。初始时
 358 刻 (图 13 a), 两组具有相似的 θ_e 垂直廓线; 随着时间推移, 至 8 月 6 日
 359 1900UTC 时, 两组试验在近地面层出现了明显差异, 在 CTL 保留地表潜热通量
 360 时, 低层 θ_e 逐渐增加, 比 noQ 高了 8.5 K。而在中层 4-6 km 附近 CTL 试验中的
 361 θ_e 有小幅度降低, noQ 试验则小幅度升高。相应的, CTL 试验中中低层 θ_e 随高
 362 度变化为负值 ($\frac{\partial \theta_e}{\partial z} < 0$), 这意味着该地区存在显著的对流性不稳定, 利于对流
 363 的发生发展。相反的, noQ 试验的 θ_e 廓线更倾向于对流性稳定, 即对流发展易
 364 受抑制。这一结果与陈联寿等 (2004) 对台风加强和维持的研究相呼应。



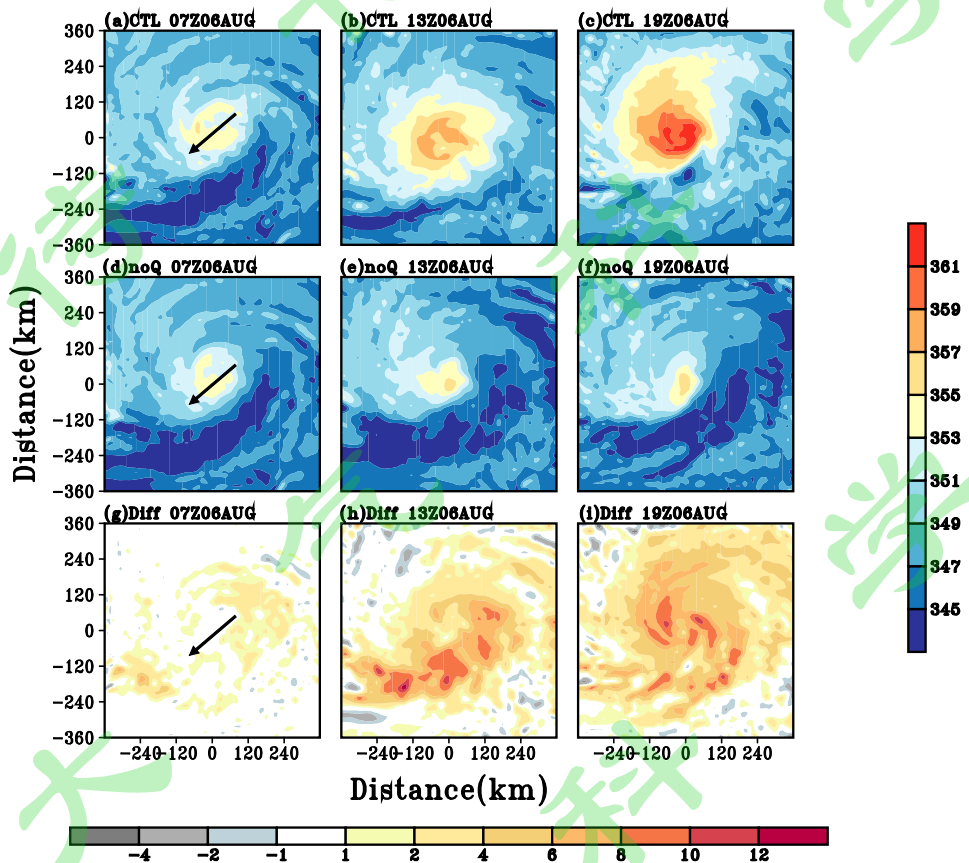
365
366 图 13 8月6日 0700、1300、1900UTC, CTL 与 noQ 试验 DSL 和 USL 半径 180km 区域平
367 均等效位温(θ_e)的垂直分布 (单位: K)
368

369 Fig.13 The profile of area-averaged equivalent potential temperature ($(\theta_e$; unit: K) within a
370 radius of 180 km for DSL and USL in both experiments from 0700 UTC August 6 to 1900 UTC
371 August 6

372 图 14 给出了低层高度平均 θ_e 水平分布。在 RI 初始阶段 (图 14a), 两者 θ_e
373 与水平分布相类似, 即在 DSL 一侧 120-240 km 处拥有一个低值中心。这是由此
374 处降水相对应的下沉气流所导致的。随着台风发展, 至 8 月 6 日 1900UTC 时,
375 随着风速的增强, CTL 中的低层 θ_e 整体都得到了加强, 风切左侧的相当位温低
376 值区面积缩小, 且台风中心附近的 θ_e 高值区也进一步升温。与其相反, 在 noQ
377 中, 风切左侧的 θ_e 低值中心没有随着台风的发展而得到恢复, TC 中心 θ_e 高值区
378 的强度也远不及 CTL。从差值图 (图 14 g-i) 可见, 最大的 θ_e 差异位置与敏感性
379 试验关键区吻合。不难推测, 在风切变情形下, 随着对流从 DSL 向 USL 一侧移
380 动, 当地面具有较大潜热通量时, 其对应的相当位温会得到逐步恢复。前人研
381 究均指出 (Powell, 1990; Tang and Emanuel, 2012; Molinari et al., 2013; Zhang et al.,
382 2017; Zhang and Rogers, 2019; Nguyen et al., 2019), 地表热通量可以补偿因为低
383 层通风效应导致的边界层熵降低, 使得边界层熵恢复, 抵消低层通风效应对台
384 风强度发展带来的负面影响。在 CTL 中, 台风垂直风切左侧的地表潜热通量可
385 以通过抵消边界层因为下沉气流而带来的低熵空气, 从而有利于边界层低熵空
386 气恢复到较高的水平。在 noQ 试验中, 台风南侧 60-200km 内的地表潜热通量被
387 人为关闭。从对流区域的下沉运动携带的低熵空气无法通过下垫面获得补偿,
388 导致其风切左侧区域 θ_e 低值中心持续维持, 这抑制对流产生 (图 8)。总之, 较

389 高的地表热通量有利于台风内区边界层内温度的升高和相对湿度的增加。这说
390 明地表潜热通量的大小和边界层熵通量的恢复速率在台风强度增强中起到了关
391 键性作用 (Wadler et al., 2021)。

392



393

394 图 14 8月 6 日 0700、1300、1900UTC , CTL 试验 (第一行); noQ 试验 (第二行) 在
395 0.5-1.5km 高度平均的相当位温水平分布 (单位: K) 以及两组试验相当位温差异 (第三
396 行), 箭头表征垂直风切方向

397 Fig.14 Snapshots of the horizontal distribution of height-averaged equivalent potential
398 temperature (unit: K) between 0.5-1.5 km in CTL experiment (top panels) and noQ experiment
399 (middle panels), and the differences in between (bottom panels) from 0700 UTC August 6 to 1900
400 UTC August 6; Arrows characterize the direction of vertical wind shear

401

402 5 结论与讨论

403 本文普查了 2006-2019 年间高层垂直东风切变影响下, 西北太平洋具有非典
404 型对流特征的快速增强台风, 其强对流由顺切变一侧往逆切变一侧移动。与在
405 相同环境风切变却没有经历快速增强的台风 noRI 比较可知, 前者在顺风切方向
406 左侧区域具有更强的地表潜热通量高值中心。为探讨地表潜热通量对非典型对

407 流台风发展的影响，本文选取了台风利奇马（2019）作为典型个例，进行针对
408 地表潜热通量的敏感性试验。当将顺切变左侧（60-200 km 范围内）地表潜热通
409 量人为设置为 0 时，台风没有经历快速增强过程。主要结论如下：

410 （1）在高层垂直风切变的影响下，西北太平洋快速增强台风也具有“非典
411 型”对流分布特征，即对流在台风相对于垂直风切变的顺切变一侧产生，逆时针
412 移至逆切变一侧。一旦强对流强迫高层出流散度风，这种“出流阻挡”影响机
413 制可以抵抗高层环境东风，使局地切变强度减弱。

414 （2）与“出流阻挡”机制关系密切的强对流活动受地表潜热通量调制。地
415 表潜热通量会通过“边界层熵恢复”机制削弱“通风效应”作用。在东风切变
416 下，当对流从顺切变一侧移动至逆切变一侧，对流活动经过高地表潜热区域可
417 以得到增强，从而激发出强的上层出流通道。

418 总之，本文利用有限的观测样本及超强台风利奇马（2019）的敏感性试验，
419 揭示了地表潜热通量在非典型对流台风 RI 期间的重要性。在实际中，地表通量
420 不仅取决于下垫面热力状况（如海温、边界层水汽条件），而且还取决于风速大
421 小（如：台风风廓线）。例如，不同的初始尺度（最大风速半径）的台风可能会
422 导致地表潜热通量空间分布的差异，这些都可能会为影响地表潜热分布进而影
423 响“非典型”对流。鉴于这类台风出现在副高南侧，因此西南季风环流对其影
424 响值得关注。不难推测，西南季风水汽输送可以显著影响台风南侧对流活动；
425 另外，西南季风与台风环流的叠加，可以改变台风尺度、风速的非对称性，这
426 些均可以导致地表通量的非对称性。

427 此外，关于 noRI 过程是否会出现非典型对流？这值得进一步探索。如果
428 “非典型”对流通过“出流层阻挡机制”，呈现出强烈“非典型”对流，一般预
429 示着 RI 过程。从这个层面来看，台风的 noRI 过程一般不具有明显的非典型对
430 流。在实际中，台风增强本质上是一个对称化过程，即内核对流（如眼墙附近）
431 总会从 donwshear 往 upshear 一侧逆时钟移动。因此，这涉及非典型对流（本工
432 作侧重于前期外雨带）与上述内核对流活动的演变区别。本文仅仅是围绕特定
433 高层东风切变下 RI 个例中非典型对流与地表热通量的关系，仅仅是抛砖引玉。
434 因此，如果要系统探讨不同环境背景气流下 RI 情况，这需要更系统进行分类对
435 比，如：风切廓线、台风移速、移向、近地面平均风等等。这些复杂问题都尚

436 待进一步探究。

437

438

439 参考文献:

- 440 陈彩珠. 2011. 西北太平洋热带气旋强度预报方法评估[D].南京信息工程大学, 45-47. Chen
441 Caizhu. Evaluation of tropical cyclone intensity forecast methods in Northwest Pacific [D].
442 Nanjing University of Information Science and Technology.
443 doi:<https://kns.cnki.net/KCMS/detail/detail.aspx?dbname=CMFD2011&filename=1011155784.nh>
- 444 陈光华, 裴国庆. 2005. 热带气旋强度与结构研究新进展[J].气象科技,33(01):1-6. Chen
445 Guanghua, Qiu Guoqing. Progress in Researches on Tropical Cyclone Intensity and
446 Structure[J]. Meteorological Science and Technology, 2005, 33(1):1-6. doi:10.19517/j.1671-
447 6345.2005.01.001.
- 448 陈联寿,丁一汇. 1979.西太平洋台风概论[M].科学出版社. Chen Lianshou, Ding Yihui.
449 Introduction to Typhoons in the Western Pacific [M]. Science Press (in Chinese)
- 450 陈联寿,罗哲贤,李英. 2004.登陆热带气旋研究的进展[J].气象学报,(5): 541-549. Chen Lianshou,
451 Luo Zhexian, Li Ying. Research advances on tropical cyclone landfall process[J]. Acta
452 Meteorologica Sinica, 2004, (5): 541-549. doi: 10.11676/qxxb2004.055
- 453 Chen X, Wang Y. 2017. A Numerical Study on Rapid Intensification of Typhoon Vicente (2012) in
454 the South China Sea. Part I: Verification of Simulation, Storm-Scale Evolution, and
455 Environmental Contribution. Mon. Wea. Rev., 145(3), 877-898,
456 doi:<https://doi.org/10.1175/MWR-D-16-0147.1>.
- 457 Chen X, Gu J, Zhang J, et al. 2021. Boundary Layer Recovery and Precipitation Symmetrization
458 Preceding Rapid Intensification of Tropical Cyclones under Shear. Journal of the Atmospheric
459 Sciences, 78(5), 1523-1544. doi:<https://doi.org/10.1175/JAS-D-20-0252.1>
- 460 Corbosiero K L, Molinari J. 2002. The Effects of Vertical Wind Shear on the Distribution of
461 Convection in Tropical Cyclones. Monthly Weather Review, 130(8), 2110-2123.
462 doi:[https://doi.org/10.1175/1520-0493\(2002\)130<2110:TEOVWS>2.0.CO;2](https://doi.org/10.1175/1520-0493(2002)130<2110:TEOVWS>2.0.CO;2)
- 463 Corbosiero K L, Molinari J. 2003. The Relationship between Storm Motion, Vertical Wind Shear,
464 and Convective Asymmetries in Tropical Cyclones. Journal of the Atmospheric

- 466 Sciences, 60(2), 366-376.
467 doi:[https://doi.org/10.1175/15200469\(2003\)060<0366:TRBSMV>2.0.CO;2](https://doi.org/10.1175/15200469(2003)060<0366:TRBSMV>2.0.CO;2)
- 468 Dai Y, Majumdar S J, Nolan D S. 2021. Tropical Cyclone Resistance to Strong Environmental Shear.
469 Journal of the Atmospheric Sciences, 78(4), 1275-1293. <https://doi.org/10.1175/JAS-D-20-0231.1>
- 470 端义宏, 余晖, 伍荣生. 2005. 热带气旋强度变化研究进展 [J]. 气象学报, 63(5): 636 - 645. Duan
471 Yihong, Yu Hui, Wu Rongsheng. Review of the research in the intensity change of tropical
472 cyclone[J]. Acta Meteorologica Sinica, 2005, (5): 636-645. doi:[10.11676/qxxb2005.062](https://doi.org/10.11676/qxxb2005.062)
- 473 Dolling K P, Barnes G M. 2012. The Creation of a High Equivalent Potential Temperature Reservoir
474 in Tropical Storm Humberto (2001) and Its Possible Role in Storm Deepening. Monthly
475 Weather Review, 140(2), 492-505. doi:<https://doi.org/10.1175/MWR-D-11-00068.1>
- 476 Elsberry R L, Jeffries R A. 1996. Vertical Wind Shear Influences on Tropical Cyclone Formation
477 and Intensification during TCM-92 and TCM-93. Monthly Weather Review, 124(7), 1374-
478 1387. doi:[https://doi.org/10.1175/1520-0493\(1996\)124<1374:VWSIOT>2.0.CO;2](https://doi.org/10.1175/1520-0493(1996)124<1374:VWSIOT>2.0.CO;2)
- 479 Emanuel K A. 1986. An Air-Sea Interaction Theory for Tropical Cyclones. Part I: Steady-State
480 Maintenance. J. Atmos. Sci., 43, 585-605, [https://doi.org/10.1175/1520-0469\(1986\)043<0585:AASITF>2.0.CO;2](https://doi.org/10.1175/1520-0469(1986)043<0585:AASITF>2.0.CO;2).
- 481 Emanuel K, DesAutels C, et al. 2004. Environmental Control of Tropical Cyclone Intensity. Journal
482 of the Atmospheric Sciences, 61(7), 843-858. doi:[https://doi.org/10.1175/1520-0469\(2004\)061<0843:ECOTCI>2.0.CO;2](https://doi.org/10.1175/1520-0469(2004)061<0843:ECOTCI>2.0.CO;2)
- 483 费建芳, 陆汉城. 1996. 圆形涡旋中的惯性重力内波不稳定和对称不稳定 [J]. 大气科学, 20(1):
484 54 - 62. Fei Jianfang, Lu Hancheng. Instability of Inertia-Internal Gravity Waves and
485 Symmetric Instability in Circular Vortexes[J]. Chinese Journal of Atmospheric Sciences, 1996,
486 20(1): 54-62. doi: 10.3878/j.issn.1006-9895.1996.01.07
- 487 Frank W M, Ritchie E A. 2001. Effects of Vertical Wind Shear on the Intensity and Structure of
488 Numerically Simulated Hurricanes. Monthly Weather Review, 129(9), 2249-2269.
489 doi:[https://doi.org/10.1175/1520-0493\(2001\)129<2249:EOVWSO>2.0.CO;2](https://doi.org/10.1175/1520-0493(2001)129<2249:EOVWSO>2.0.CO;2)
- 490 Ge X, Li T, Peng M. 2013. Effects of Vertical Shears and Midlevel Dry Air on Tropical Cyclone
491 Developments. Journal of the Atmospheric Sciences, 70(12), 3859-3875.
492 doi:<https://doi.org/10.1175/JAS-D-13-066.1>
- 493
- 494
- 495

- 496 Huang Q, Ge X and Peng M. 2021. Simulation of Rapid Intensification of Super Typhoon Lekima
497 (2019). Part I: Evolution Characteristics of Asymmetric Convection Under Upper-Level
498 Vertical Wind Shear. *Front. Earth Sci.* 9:739507. doi: 10.3389/feart.2021.739507
- 499 Jannetta C R, Ryan D T, et al. 2022. An Analog Comparison between Rapidly and Slowly
500 Intensifying Tropical Cyclones. *Monthly Weather Review*, 150(8). doi:10.1175/MWR-D-21-
501 0260.1
- 502 Jones, Sarah. 2006. The evolution of vortices in vertical shear. I: Initially barotropic vortices.
503 *Quarterly Journal of the Royal Meteorological Society*. 121(524). 821 - 851.
504 doi:10.1002/qj.49712152406.
- 505 Krishnamurti T N, Pattnaik S, et al. 2005. The Hurricane Intensity Issue. *Monthly Weather Review*,
506 133(7), 1886-1912. doi:<https://doi.org/10.1175/MWR2954.1>
- 507 Kanada S, Wada A. 2015. Numerical Study on the Extremely Rapid Intensification of an Intense
508 Tropical Cyclone: Typhoon Ida (1958). *Journal of the Atmospheric Sciences*, 72(11), 4194-
509 4217. doi:<https://doi.org/10.1175/JAS-D-14-0247.1>
- 510 李英, 陈联寿, 王继志. 2004. 登陆 TC 长久维持与迅速消亡的大尺度环流特征 [J]. 气象学报,
511 62(2): 167 - 179. Li Ying, Chen Lianshou, Wang Jizhi. The diagnostic analysis on the
512 characteristics of large scale circulation corresponding to the sustaining and decaying of
513 tropical cyclone after it's landfall[J]. *Acta Meteorologica Sinica*, 2004, (2): 167-179.doi:
514 10.11676/qxxb2004.018
- 515 Liang XS. 2014. Unraveling the cause-effect relation between time series. *Phys Rev E Stat Nonlin
516 Soft Matter Phys*;90(5-1):052150. doi:10.1103/PhysRevE.90.052150
- 517 Liang XS. 2013. The Liang-Kleeman Information Flow: Theory and Applications. *Entropy*;
518 15(1):327-360. doi:<https://doi.org/10.3390/e15010327>
- 519 Miyamoto Y, Nolan D S. 2018. Structural Changes Preceding Rapid Intensification in Tropical
520 Cyclones as Shown in a Large Ensemble of Idealized Simulations. *Journal of the Atmospheric
521 Sciences*, 75(2), 555-569. doi:<https://doi.org/10.1175/JAS-D-17-0177.1>
- 522 Miyamoto Y, Takemi T. 2013. A Transition Mechanism for the Spontaneous Axisymmetric
523 Intensification of Tropical Cyclones. *Journal of the Atmospheric Sciences*, 70(1), 112-129.
524 doi:<https://doi.org/10.1175/JAS-D-11-0285.1>
- 525 Molinari J, Frank J, Vollaro D. 2013. Convective Bursts, Downdraft Cooling, and Boundary Layer

- 526 Recovery in a Sheared Tropical Storm. Monthly Weather Review, 141(3), 1048-1060.
527 doi:<https://doi.org/10.1175/MWR-D-12-00135.1>
- 528 Powell M D. 1990. Boundary Layer Structure and Dynamics in Outer Hurricane Rainbands. Part II:
529 Downdraft Modification and Mixed Layer Recovery. Mon. Wea. Rev., 118, 918–
530 938, [https://doi.org/10.1175/1520-0493\(1990\)118<0918:BLSDI>2.0.CO;2](https://doi.org/10.1175/1520-0493(1990)118<0918:BLSDI>2.0.CO;2).
- 531 Riemer M, Montgomery M T, Nicholls M E. 2013. Further examination of the thermodynamic
532 modification of the inflow layer of tropical cyclones by vertical wind shear [J]. Atmos. Chem.
533 Phys., 13(1): 327 - 346. doi:<https://doi.org/10.5194/acp-13-327-2013>
- 534 Riemer M, Jones S C. 2010. The downstream impact of tropical cyclones on a developing baroclinic
535 wave in idealized scenarios of extratropical transition. Quart. J. Roy. Meteor. Soc., 136(648),
536 617–637, doi:<https://doi.org/10.1002/qj.605>.
- 537 Ryglicki D R, Cossyph J H, Hodyss D H, et al. 2018a. The unexpected rapid intensification of
538 tropical cyclones in moderate vertical wind shear. Part I: Overview and observations [J]. Mon.
539 Wea. Rev., 146(11): 3773 - 3800. doi:<https://doi.org/10.1175/MWR-D-18-0020.1>
- 540 Ryglicki D R, Doyle J D, Hodyss D H, et al. 2019. The unexpected rapid intensification of tropical
541 cyclones in moderate vertical wind shear. Part III: Outflow-Environment Interaction [J]. Mon.
542 Wea. Rev., 147(8): 2919 – 2940. doi:<https://doi.org/10.1175/MWR-D-18-0370.1>
- 543 Ryglicki D R, Velden C S, Reasor P D, et al. 2021. Observations of Atypical Rapid Intensification
544 Characteristics in Hurricane Dorian (2019). Mon. Wea. Rev., 149, 2131–2150,
545 <https://doi.org/10.1175/MWR-D-20-0413.1>.
- 546 Shi D, Chen G. 2021. The implication of outflow structure for the rapid intensification of tropical
547 cyclones under vertical wind shear, Monthly Weather Review, 149, 4107-4127. doi:
548 <https://doi.org/10.1175/MWR-D-21-0141.1>
- 549 Shi D, Chen G. 2023. Modulation of asymmetric inner-core convection on midlevel ventilation
550 leading up to the rapid intensification of Typhoon Lekima (2019). JGR-Atmosphere, 128,
551 e2022JD037952. doi:[10.1029/2022JD037952](https://doi.org/10.1029/2022JD037952)
- 552 Tang B, Emanuel K. 2010. Midlevel ventilation's constraint on tropical cyclone intensity [J]. J.
553 Atmos. Sci., 67(6): 1817 - 1830. doi:<https://doi.org/10.1175/2010JAS3318.1>
- 554 Tang B, Emanuel K. 2012. Sensitivity of tropical cyclone intensity to ventilation in an axisymmetric
555 model [J]. J. Atmos. Sci., 69(8): 2394 - 2413. doi:<https://doi.org/10.1175/JAS-D-11-0232.1>

- 556 Wadler J B, Cione J J, Zhang J A, et al. 2021. The effects of environmental wind shear direction on
557 tropical cyclone boundary layer thermodynamics and intensity change from multiple
558 observational datasets [J]. Mon. Wea. Rev., 150(1): 115 - 134.
559 doi:<https://doi.org/10.1175/MWR-D-21-0022.1>
- 560 Wang B, Zhou X. 2007. Climate variation and prediction of rapid intensification in tropical cyclones
561 in the western North Pacific [J]. Meteor. Atmos. Phys., 99(1): 1 - 16.
562 doi:<http://dx.doi.org/10.1007/s00703-006-0238-z>
- 563 Wang Y, Rao Y, et al. 2015. A Statistical Analysis of the Effects of Vertical Wind Shear on Tropical
564 Cyclone Intensity Change over the Western North Pacific. Mon. Wea. Rev., 143(9), 3434–3453,
565 doi:<https://doi.org/10.1175/MWR-D-15-0049.1>.
- 566 Wong M L M, Chan J C L. 2004. Tropical Cyclone Intensity in Vertical Wind Shear. Journal of the
567 Atmospheric Sciences, 61(15), 1859-1876. doi:[https://doi.org/10.1175/1520-0469\(2004\)061<1859:TCIIVW>2.0.CO;2](https://doi.org/10.1175/1520-0469(2004)061<1859:TCIIVW>2.0.CO;2)
- 569 于玉斌, 杨昌贤, 姚秀萍. 2007. 近海热带气旋强度突变的垂直结构特征分析 [J]. 大气科学,
570 31(5): 876 - 886. Yu Yubin, Yang Changxian, Yao Xiuping. 2007. The Vertical Structure
571 Characteristics Analysis on Abrupt Intensity Change of Tropical Cyclone over the Offshore of
572 China[J]. Chinese Journal of Atmospheric Sciences, 31(5): 876-886. doi: 10.3878/j.issn.1006-
573 9895.2007.05.11
- 574 余晖, 吴国雄. 2001. 湿斜压性与热带气旋强度突变 [J]. 气象学报, 59(4): 440 - 449. Yu Hui, Wu
575 Guoxiong. 2001. Moist baroclinity and abrupt intensity change of tropical cyclone[J]. Acta
576 Meteorologica Sinica, (4): 440-449. doi: 10.11676/qxxb2001.047
- 577 Yuter S E, Houze R A, et al. 1995. Three-Dimensional Kinematic and Microphysical Evolution of
578 Florida Cumulonimbus. Part II: Frequency Distributions of Vertical Velocity, Reflectivity, and
579 Differential Reflectivity. Monthly Weather Review, 123(7), 1941-1963.
580 doi:[https://doi.org/10.1175/1520-0493\(1995\)123<1941:TDKAME>2.0.CO;2](https://doi.org/10.1175/1520-0493(1995)123<1941:TDKAME>2.0.CO;2)
- 581 Zeng Z, Chen L, Wang Y. 2007. Environmental Dynamical Control of Tropical Cyclone Intensity—
582 An Observational Study[J].Mon.wea.rev, 135(9). doi:[10.1175/2008MWR2388.1](https://doi.org/10.1175/2008MWR2388.1).
- 583 Zhang X, Duan Y, et al. 2017. A High-Resolution Simulation of Supertyphoon Rammasun (2014)-
584 Part I: Model Verification and Surface Energetics Analysis. Adv. Atmos. Sci. 34(6), 757–770.
585 doi:[10.1007/s00376-017-6255-7](https://doi.org/10.1007/s00376-017-6255-7)

586 Zhang J, Rogers R. 2019. Effects of Parameterized Boundary Layer Structure on Hurricane Rapid
587 Intensification in Shear. Monthly Weather Review 147(3) pp. 853-871. doi:
588 <https://doi.org/10.1175/MWR-D-18-0010.1>

589

刊

游

海

科

风

游

大

科

风

刊

大

海